

Evaluation of resistance to drought stress in seedlings of two lines of Triticale (*Triticosecale* × *Wittmack*) with emphasis on some enzymatic and non-enzymatic antioxidants

Seyedeh Sarah Hoseini, Monireh Cheniany *, Mehrdad Lahouti and Ali Ganjeali

Department of Biology, Faculty of Science, Ferdowsi University of Mashhad, Mashhad, Iran

Abstract

Drought is one of the most important factors that limit plant growth and development. In order to study the effect of drought stress in two lines of Triticale *Sanabad* and *ET83-20* as the new man-made cereal, a greenhouse experiment was arranged in a three-replicate completely randomized factorial design. Drought stress was applied as limited irrigation by 30% and 60% of field capacity as a drought condition and 90% of field capacity as a control. One week after applying the stress, some growth criteria and biochemical parameters were evaluated for seedlings. Results of statistical analysis showed that drought stress reduced growth parameters (including dry weight of root and shoot, root length and diameter, root and leaf area) and increased the levels of chlorophyll a, b, total chlorophyll and carotenoid in both lines. However, the pigments content of *ET83-20* had a further increase than the other. The results also showed that proline content as non-enzymatic antioxidant and soluble sugars as osmolytes and antioxidant enzyme activities of superoxide dismutase and guaiacol peroxidase increased under drought stress. However, these increases were more significant in line *Sanabad*. The damage levels of growth criteria and defence mechanisms show that *ET83-20* is less resistance to drought stress than *Sanabad*. So the line *Sanabad* could be introduced as a better alternative to wheat bread.

Keywords: Enzymatic Antioxidant, Non-enzymatic Antioxidant, Triticale, Drought stress

* Corresponding Author: cheniany@um.ac.ir

بررسی میزان مقاومت به تنش خشکی گیاهچه‌های دو لاین گیاه تریتیکاله (*Triticosecale* × *Wittmack*) با تأکید بر برخی آنتی‌اکسیدان‌های آنزیمی و غیر آنزیمی

سیده سارا حسینی، منیره چینیانی*، مهرداد لاهوتی و علی گنجعلی
گروه زیست‌شناسی، دانشکده علوم، دانشگاه فردوسی مشهد، مشهد، ایران

چکیده

خشکی، یکی از مهم‌ترین عوامل بازدارنده رشد و نمو گیاهان در محیط است. بنابراین برای بررسی تنش خشکی و ارزیابی سیستم‌های مقاوم‌تری دو لاین *ET83-20* و *Sanabad* گیاه تریتیکاله (*Triticosecale* × *Wittmack*)، غله جدید ساخته دست بشر، آزمایشی در قالب طرح کاملاً تصادفی و با سه تکرار به شکل گلدانی در شرایط گلخانه انجام شد. سطوح خشکی آزمایش شده شامل ۳۰ و ۶۰ درصد ظرفیت زراعی برای شرایط تنش و ۹۰ درصد ظرفیت زراعی برای شاهد انتخاب شد. یک هفته پس از اعمال تنش خشکی نمونه‌برداری برای بررسی برخی صفات مورفوفیزیولوژیک و بیوشیمیایی در مرحله گیاهچه‌ای انجام شد. نتایج حاصل از بررسی آماری نشان داد که در هر دو لاین گیاه با افزایش سطح تنش خشکی، شاخص‌های رشد کاهش یافت. مقایسه محتوای کلروفیل *a*، *b*، کلروفیل کل و کاروتنوئید نشان داد که با افزایش تنش خشکی محتوای رنگدانه‌های فتوسنتزی در هر دو لاین به طور معنی‌داری افزایش یافت ($P < 0.05$)؛ ولی میزان افزایش این رنگدانه‌ها در *ET83-20* بیشتر از *Sanabad* بود. گرچه تنش خشکی در هر دو لاین، محتوای آنتی‌اکسیدان غیر آنزیمی پرولین و کربوهیدرات‌های محلول (از انواع اسمولیت‌ها)، و نیز فعالیت آنزیم‌های آنتی‌اکسیدان سوپراکسید دیسموتاز و گایاکول پراکسیداز را افزایش داد، این افزایش در *Sanabad* بیشتر از *ET83-20* بود. شدت آسیب‌دیدگی شاخص‌های رشد و نحوه بروز سازوکارهای دفاعی دو لاین نشان می‌دهد که *ET83-20* در برابر تنش خشکی، نسبت به *Sanabad* مقاومت کمتری دارد. از این رو *Sanabad* جایگزین بهتری برای گندم نان معرفی شد.

واژه‌های کلیدی: آنتی‌اکسیدان آنزیمی، آنتی‌اکسیدان غیر آنزیمی، تریتیکاله، تنش خشکی

مقدمه

تنش خشکی از جمله تنش‌های فیزیکی است که مهم‌ترین عامل محدود کننده رشد و تولید محصول در گیاهان زراعی شناخته شده است (Borzooi *et al.*, 2006; Razavizadeh *et al.*, 2014). بر مبنای گزارش‌ها خشکی، عامل مهم کنترل کننده عملکرد محصولات، تقریباً بر کلیه فرایندهای رشد گیاه تاثیر گذار است (Siddique *et al.*, 1999). در تنش خشکی و کمبود آب، روزنه‌های گیاه بسته می‌شوند؛ به دنبال آن، غلظت CO_2 در بافت مزوفیل برگ کاهش می‌یابد که پیامد آن، مختل شدن واکنش‌های تاریکی فتوسنتز و مصرف نشدن محصولات حاصل از واکنش‌های روشنایی (ATP و NADPH) است. در چنین وضعیتی به علت اکسید نشدن مولکول NADPH، مصرف $NADP^+$ برای دریافت الکترون کاهش می‌یابد و مولکول اکسیژن (پذیرنده الکترون) بیشتری در مسیر زنجیره انتقال الکترون عمل می‌کند. به این ترتیب شکل‌گیری رادیکال‌های سوپراکسید ($O_2^{\cdot-}$)، پراکسید هیدروژن (H_2O_2)، رادیکال هیدروکسیل (OH^{\cdot}) و ... افزایش می‌یابد (Sairam and Saxena, 2000). فعالیت گونه‌های فعال اکسیژن (Reactive Oxygen Species؛ ROS) ممکن است بروز آسیب‌هایی مانند اکسید شدن لیپیدهای غشا، اکسید شدن گروه‌های سولفیدریل ($-SH$) و تغییر ساختار پروتئین‌ها، غیرفعال شدن آنزیم‌ها، آسیب به سیستم‌های فتوسنتزی و ... را سبب شود. کاهش تنش اکسیداتیو و افزایش مقاومت به چنین تنش‌های محیطی اغلب به سیستم‌های دفاع آنتی‌اکسیدانی قوی مربوط می‌شود. این سیستم دفاعی، شامل آنتی‌اکسیدان‌های آنزیمی (سوپراکسید دیسموتاز (SOD)، کاتالاز (CAT)، آسکوربات پراکسیداز (APX)،

گلوکاتایون ردو کناز (GR)، گایاکول پراکسیداز (POD) و ... و آنتی‌اکسیدان‌های غیر آنزیمی (آسکوربات، توکوفرول، فلاونوئیدها، مانیتول‌ها، پرولین، فندهای محلول، پلی‌فنل‌ها و ...) است (Blokhin *et al.*, 2003). فراوانی سیستم‌های دفاعی شاید به علت تولید انواع ROSها در سلول‌ها و بخش‌های مختلف زیرسلولی باشد. از سوی دیگر، این مولکول‌ها در ویژگی‌هایی مانند توانایی انتشار، حلالیت و گرایش به واکنش با مولکول‌های زیستی مختلف، بسیار متنوع هستند. بنابراین وجود مجموعه به هم پیوسته از سیستم‌های دفاعی برای عمل در بخش‌های ساختاری و غشایی، و در همه قسمت‌های سلول برای غیرفعال کردن رادیکال‌ها ضروری است (Borzooi *et al.*, 2006).

تریتیکاله (*Triticosecale*)، گونه‌ای جدید و هیبرید در غلات، ساخته شده به دست بشر است. این گیاه در نتیجه تلاقی ژنوم‌های جنس گندم (*Triticum*) (والد ماده) و جنس چاودار (*Secal*) (والد نر) به وجود آمده است. اگر در تلاقی بین گندم و چاودار از گندم تتراپلوئید یا هگزاپلوئید استفاده شود، تریتیکاله حاصل به ترتیب هگزاپلوئید ($6x=42$) یا اکتاپلوئید ($8x=56$) خواهد بود. تریتیکاله اکتاپلوئید به سبب عقیمی نسبی ناشی از تعداد زیاد کروموزوم، چندان مطلوب نیست و به همین دلیل محققان مطالعات خود را بر تریتیکاله‌های هگزاپلوئید که عملکرد بهتری دارند متمرکز کرده‌اند (Mergom and Maspheerson, 2004). این گیاه را موفق‌ترین گیاه غله ساخت بشر می‌دانند که با هدف کسب محصولی با کیفیت برتر گندم (پتانسیل زیاد تولید محصول و کیفیت مطلوب دانه) و متحمل به تنش‌های زیستی و غیرزیستی چاودار تولید شده است (Lelley, Sairam and 2006; Mergoum and Gomez, 2009;

۱/۵ سانتی متری خاک کاشته شدند. گلدان‌ها در سه رژیم رطوبتی شامل ۳۰ و ۶۰٪ ظرفیت زراعی (شرایط تنش) و ۹۰٪ ظرفیت زراعی (شاهد) قرار گرفتند. برای ایجاد ظرفیت‌های زراعی یادشده، در ابتدا سه گلدان انتخاب و به‌طور کامل آبیاری شدند. سپس سطح گلدان‌ها با کیسه‌های پلاستیکی پوشانده شد و پس از گذشت ۱۲ ساعت، گلدان‌ها در فواصل زمانی معین توزین شدند. با ثابت ماندن وزن گلدان‌ها، ظرفیت زراعی ۱۰٪ مشخص شد و سایر سطوح خشکی نیز بر اساس این ظرفیت تعیین شدند. اعمال تنش، یک هفته پس از رشد گیاهچه‌ها و با توزین روزانه گلدان‌ها با روش بالا انجام شد. گلدان‌ها در شرایط گلخانه و با درجه حرارت ۲۶ درجه سانتیگراد و دوره نوری ۱۶ ساعت روشنایی و ۸ ساعت تاریکی نگهداری شدند.

روش بررسی شاخص‌های رشد: نمونه‌برداری گیاهچه‌ها یک هفته پس از اعمال تنش خشکی انجام شد. به این ترتیب که گلدان‌ها برای بررسی صفات مورفوفیزیولوژیک، تخریب شد و وزن تر بخش هوایی و ریشه (با ترازوی دیجیتالی مدل Sartorius، TE313s، آلمان)، مجموع سطح برگ‌ها به ازای هر گیاه و مجموع سطح و قطر ریشه‌ها (با دستگاه اسکنر متصل به کامپیوتر مدل ADC، BioScientific Ltd، انگلستان) بررسی شدند. برای اندازه‌گیری وزن خشک اندام‌ها، بافت نمونه‌ها پس از ۴۸ ساعت قرارگیری در دمای ۷۰ درجه سانتیگراد توزین شدند.

روش سنجش محتوای رنگدانه‌های فتوسنتزی:

برای ارزیابی محتوای کل رنگدانه‌های فتوسنتزی، ۰/۲ گرم از قطعات برگ گیاهچه‌ها، جداگانه در ۱۰ میلی لیتر استون ۸۰٪ ساییده شد و به مدت ۱۰ دقیقه در دستگاه

(Saxena, 2000). با توجه به اینکه تریتیکاله مقاومت خوبی نسبت به وضعیت نامناسب محیطی نشان می‌دهد، جایگزین خوبی برای غلات (به‌ویژه گندم نان) در وضعیت محیطی نامناسب و کم‌بازده به شمار می‌رود (Erekul and Kohn, Campuzano *et al.*, 2008). با وجود این، مشخص شده است که بین لاین‌های مختلف این گیاه از نظر تحمل به تنش خشکی تفاوت وجود دارد. هدف از پژوهش حاضر، بررسی معیارهای مقاومت دو لاین *ET83-20* و *Sanabad* نسبت به تنش خشکی و معرفی لاین مناسب‌تر برای جایگزینی احتمالی با سایر غلات است.

مواد و روش‌ها

پژوهش حاضر، در آزمایشگاه فیزیولوژی گیاهی دانشگاه فردوسی مشهد در قالب طرح کاملاً تصادفی، با سه تکرار و در شرایط گلخانه انجام شد. به این منظور، بذرهای چهار لاین گیاه تریتیکاله با نام‌های *Sanabad*، *Juanilo*، *ET83-20* و *ET84-17* از موسسه تحقیقات جهاد کشاورزی مشهد تهیه شد. پس از بررسی ویژگی‌های جوانه‌زنی بذرها (درصد و سرعت جوانه‌زنی)، دو لاین *Sanabad* و *ET83-20* با بهترین صفات جوانه‌زنی انتخاب شدند. بذرهای سالم، هم‌اندازه و فاقد هرگونه ظاهر معیوب انتخاب شدند و پس از ضدعفونی با محلول سدیم هیپوکلریت ۱۰٪ (v/v) و شستشو با آب مقطر، به مدت نصف روز روی کاغذ صافی مرطوب قرار گرفتند. در نهایت بذرها به گلدان‌های پلاستیکی با قطر دهانه ۲۵ سانتی متر، محتوی خاک رس و ماسه به نسبت ۳ به ۱ منتقل شدند. هر گلدان یک واحد آزمایشی در نظر گرفته شد. در هر گلدان، ۸ بذر در عمق

کاروتنوئید (Car) (واحد میلی گرم در گرم وزن تر نمونه = A_{440} (mg/g FW): جذب نمونه در طول موج ۴۴۰ نانومتر، Chl_{a+b} میزان کلروفیل کل، V حجم نمونه، W وزن تر نمونه

روش تعیین شاخص پایداری غشاء: برای تعیین

این شاخص، دو برگ میانی از هر گلدان انتخاب و ۰/۱ گرم از آن در وضعیت غوطه‌ور در آب، به مدت ۱۰ دقیقه در بن ماری (مدل سرولوژی، شرکت Kavooosh Mega، ایران) ۴۰ درجه سانتیگراد و ۰/۱ گرم دیگر از آن به مدت ۳۰ دقیقه در بن ماری ۱۰۰ درجه سانتیگراد قرار داده شد و سپس هدایت الکتریکی (EC) نمونه‌ها با دستگاه EC متر (مدل 45-10، شرکت Jenway انگلستان) اندازه‌گیری و شاخص پایداری غشاء بر مبنای رابطه ۵ محاسبه شد (Azizpour *et al.*, 2010).

رابطه ۵: $MSI = ((1-EC_{40})/EC_{100}) \times 100$

شاخص پایداری غشاء (MSI): EC_{40} هدایت الکتریکی نمونه در دمای ۴۰ درجه سانتیگراد (واحد دسی‌زیمنس بر متر = ds/m)، EC_{100} هدایت الکتریکی نمونه در دمای ۱۰۰ درجه سانتیگراد (واحد دسی‌زیمنس بر متر = ds/m)

روش ارزیابی میزان پراکسیداسیون لیپیدهای

غشاء: برای ارزیابی میزان پراکسیداسیون لیپیدهای غشاء، از روش Heath و Packer (۱۹۶۹)، براساس تشکیل کمپلکس مالون دی آلدئید (MDA) حاصل از پراکسیداسیون لیپیدهای غشا با تیو باریتوریک اسید (TBA)، انجام شد. ۰/۲ گرم از بافت تازه برگ با ۵ میلی‌لیتر تری کلرو استیک اسید (TCA) ۰/۱٪ (w/v) سائیده شد. عصاره حاصل به مدت ۱۵ دقیقه در ۱۰۰۰۰ دور در دقیقه سانتریفیوژ شد. به ۱ میلی‌لیتر از محلول رویی حاصل از سانتریفیوژ، ۴ میلی‌لیتر محلول TCA

سانتریفیوژ (مدل Z230، شرکت Berthold Hermle GmbH، آلمان) در ۴۰۰۰ دور در دقیقه سانتریفیوژ شد. حجم نهایی نمونه‌ها پس از پایان سانتریفیوژ به ۲۵ میلی‌لیتر رسانده شد. جذب نمونه‌های حاصل، در طول موج‌های ۴۴۰، ۶۴۶ و ۶۶۳ نانومتر خوانده شد و در نهایت محتوای کلروفیل a، کلروفیل b و کلروفیل کل با روش Mackinney (۱۹۴۱) و محتوای کاروتنوئیدها با روش Arnon (۱۹۵۶) و بر مبنای رابطه‌های ۱، ۲، ۳ و ۴ بر حسب میلی‌گرم در گرم وزن تر نمونه محاسبه شد.

رابطه ۱:

$Chl_a = [(12.25 A_{663}) - (2.55 A_{646})] \times V/W \times 1000$
کلروفیل a (Chl_a) (واحد میلی گرم در گرم وزن تر نمونه = A_{663} (mg/g FW): جذب نمونه در طول موج ۶۶۳ نانومتر، A_{646} جذب نمونه در طول موج ۶۴۶ نانومتر، V حجم نمونه، W وزن تر نمونه

رابطه ۲:

$Chl_b = [(22.31 A_{646}) - (4.91 A_{663})] \times V/W \times 1000$
کلروفیل b (Chl_b) (واحد میلی گرم در گرم وزن تر نمونه = A_{646} (mg/g FW): جذب نمونه در طول موج ۶۴۶ نانومتر، A_{663} جذب نمونه در طول موج ۶۶۳ نانومتر، V حجم نمونه، W وزن تر نمونه

رابطه ۳:

$Chl_{a+b} = [(17.76 A_{646}) + (7.34 A_{663})] \times V/W \times 1000$
کلروفیل کل (Chl_{a+b}) (واحد میلی گرم در گرم وزن تر نمونه = A_{646} (mg/g FW): جذب نمونه در طول موج ۶۴۶ نانومتر، A_{663} جذب نمونه در طول موج ۶۶۳ نانومتر، V حجم نمونه، W وزن تر نمونه

رابطه ۴:

$Car = [(4.69 A_{440}) - (0.267 Chl_{a+b})] \times V/W \times 1000$

۳۰ ثانیه به شدت هم زده شدند. با ثابت نگه داشتن لوله‌ها به مدت ۱۵ تا ۲۰ ثانیه، ۲ لایه کاملاً مجزا تشکیل شد. از لایه رنگی رویی که تولوئن حاوی پرولین بود، برای اندازه‌گیری غلظت پرولین استفاده شد. پس از گذشت ۲۰ دقیقه، جذب مقدار معینی از این ماده رنگی در طول موج ۵۲۰ نانومتر، با دستگاه اسپکتروفتومتر (مدل UV/Vis1800، شرکت JASCO، آلمان) تعیین شد و مقدار پرولین در هر نمونه بر مبنای منحنی استاندارد پرولین (صفر تا ۱۶ میکروگرم در میلی‌لیتر) و معادله خط $y=0.0177x+0.003$ ، بر حسب میکرومول در گرم وزن تر نمونه گیاهی و بر اساس رابطه ۷ محاسبه شد: رابطه ۷:

$$= \text{میکرومول پرولین در گرم وزن تر نمونه}$$

$$\left[\frac{\mu\text{gprolin}}{\text{ml}} \times \frac{\text{mlToloen}}{115/5 (\mu\text{g}/\mu\text{mol})} \right] \div \frac{\text{gr sample}}{5}$$

روش ارزیابی محتوای کربوهیدرات‌های

محلول: برای سنجش کربوهیدرات‌های محلول از روش Dubious و همکاران (۱۹۵۶) استفاده شد. ۰/۰۲ گرم نمونه خشک برگ در ۳ میلی‌لیتر اتانول ۸۰٪ (v/v) کاملاً سائیده، سپس همگنای حاصل به مدت ۱۵ دقیقه در ۵۰۰۰ دور در دقیقه سانتریفوژ شد و از محلول روشناور برای سنجش قندهای محلول استفاده شد. بدین منظور، به ۱ میلی‌لیتر از عصاره حاوی کربوهیدرات‌های محلول، ۱ میلی‌لیتر محلول ۵٪ فنل (w/v) افزوده و به خوبی هم زده شد. در مرحله نهایی، ۵ میلی‌لیتر سولفوریک اسید غلیظ به هر نمونه اضافه و به شدت مخلوط شد. نمونه‌ها به مدت نیم ساعت در دمای اتاق قرار گرفتند. در نهایت مقادیر جذب آن‌ها در طول موج ۴۸۰ نانومتر با دستگاه اسپکتروفتومتر (مدل UV/Vis1800، شرکت JASCO،

۲۰٪ (w/v) محتوی ۵٪ (w/v) تیوباریتوریک اسید اضافه شد. مخلوط حاصل، ابتدا به مدت ۳۰ دقیقه در حمام آب گرم (دمای ۹۵ درجه سانتیگراد) و سپس بلافاصله به مدت ۵ دقیقه در حمام آب یخ قرار داده شد و در نهایت به مدت ۱۰ دقیقه در ۱۰۰۰۰ دور در دقیقه سانتریفیوژ شد. جذب نوری این محلول در طول موج ۵۳۲ نانومتر، با دستگاه اسپکتروفتومتر (مدل UV/Vis1800، شرکت JASCO، آلمان) خوانده شد. ماده مد نظر برای جذب در این طول موج، کمپلکس قرمز (TBA-MDA) است. جذب سایر رنگدانه‌های غیراختصاصی در ۶۰۰ نانومتر تعیین و از این مقدار کسر شد. برای محاسبه غلظت MDA بر حسب میکرومول در گرم وزن تر نمونه، از ضریب خاموشی (ε) معادل ۱۵۵ میلی‌مول بر سانتی‌متر و بر مبنای رابطه ۶، استفاده شد:

$$\text{رابطه ۶: } A = \epsilon bc$$

جذب نمونه (A): ε ضریب خاموشی (واحد میلی‌مول بر سانتی‌متر)، b پهنای کووت (معادل ۱ سانتی‌متر)، c غلظت MDA

روش سنجش محتوای پرولین: محتوای پرولین

برگ با روش Bates و همکاران (۱۹۷۳) اندازه‌گیری شد. ۰/۲ گرم از بافت تر برگ در ۴ میلی‌لیتر محلول سولفو سالیسیلیک اسید ۳٪ (w/v) سائیده و همگنای حاصل به مدت ۱۵ دقیقه در ۳۰۰۰ دور در دقیقه سانتریفوژ شد. ۲ میلی‌لیتر از روشناور با ۲ میلی‌گرم معرف نین هیدرین و ۲ میلی‌لیتر استیک اسید گلاسیال مخلوط و به مدت ۱ ساعت در حمام آب گرم (دمای ۱۰۰ درجه سانتیگراد) قرار گرفت. برای قطع انجام کلیه واکنش‌ها، لوله‌های محتوی محلول روشناور بلافاصله در حمام یخ قرار داده شدند و سپس ۴ میلی‌لیتر تولوئن به آن‌ها اضافه و به مدت

۵۶۰ نانومتر، نشان‌دهنده مهار احیای نوری NBT در حضور آنزیم SOD موجود در نمونه است. به بیان دقیق‌تر، یک واحد آنزیمی SOD، مقدار آنزیمی است که ۵۰٪ ممانعت را از احیای NBT موجب می‌شود. با داشتن این اختلاف جذب بین نمونه‌ها و شاهد روشنایی در طول موج ۵۶۰ نانومتر، واحد آنزیمی نمونه‌ها محاسبه و فعالیت آنزیمی بر حسب واحد آنزیم در میلی‌گرم پروتئین بیان شد.

فعالیت آنزیم گایاکول پراکسیداز: برای سنجش فعالیت این آنزیم براساس روش Putter (۱۹۷۴)، ۳ میلی‌لیتر محلول بافر فسفات ۰/۱ مولار با pH=۷ با ۰/۰۳ میلی‌لیتر محلول پراکسید هیدروژن و ۰/۱ میلی‌لیتر عصاره آنزیمی در کووت ریخته و مخلوط شد. سپس جذب آن در طول موج ۴۳۶ نانومتر خوانده و برای افزایش جذب تا ۰/۰۵ مکث شد. در این موقع، زمان آزمایش یادداشت شد تا جذب به ۰/۱ افزایش یابد و بتوان Δt را ارزیابی کرد. فعالیت آنزیمی در هر لیتر عصاره بر اساس رابطه ۸ محاسبه شد.

$$\text{رابطه ۸: } u/\text{lit}=500/\Delta t$$

(u): واحد فعالیت آنزیمی

Δt : مدت زمان آزمایش

تحلیل داده‌ها: تجزیه و تحلیل آماری داده‌ها با نرم‌افزار SPSS نسخه ۲۰ انجام و برای مقایسه میانگین داده‌ها از آزمون چند دامنه‌ای دانکن در سطح احتمال ۵٪ ($P \leq 0.05$) استفاده شد و نمودارهای مربوطه با نرم‌افزار EXCEL Microsoft (Office 2007) رسم شدند.

نتایج

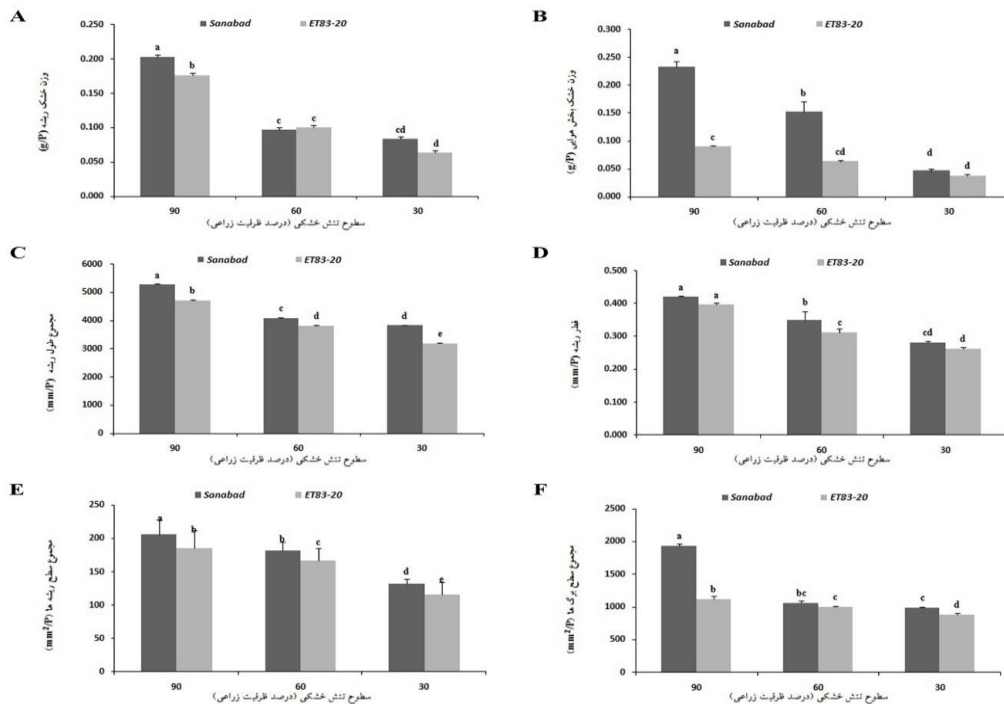
نتایج حاصل از آنالیز واریانس نشان داد که تنش خشکی در هر دو لاین، تاثیر معنی‌داری بر بیشتر

آلمان) خوانده شد. با داشتن غلظت‌های معلوم گلوکز (صفر تا ۱۰۰ میلی‌گرم در میلی‌لیتر)، رسم منحنی استاندارد و معادله خط $y=0.0111x-0.0576$ ، مقدار کربوهیدرات‌های محلول بر حسب میلی‌گرم در ۱۰۰ گرم بافت خشک نمونه محاسبه شد.

فعالیت آنزیم سوپراکسید دیسموتاز: برای سنجش فعالیت این آنزیم از روش Giannopolitis و Ries (۱۹۷۷) استفاده شد. فعالیت این آنزیم با قابلیت آن در بازدارندگی واکنش احیای فتوشیمیایی نیترو بلو تترازولیوم (NBT) تعیین شد. به این منظور، ابتدا محلول بافر فسفات ۵۰ میلی‌مولار با pH=۷/۵ تهیه شد. سپس برای تهیه مخلوط واکنش، به ترتیب ترکیبات نیترو بلو تترازولیوم ۷۵ میکرومولار، متیونین ۱۳ میلی‌مولار، ریبوفلاوین ۴ میکرومولار و اتیلن دی‌آמיד تتراستیک اسید (EDTA) ۰/۱ میل مولار، به بافر فسفات پتاسیم افزوده شد. سپس ۲۰۰ میکرولیتر از هر نمونه عصاره آنزیمی، به ۳ میلی‌لیتر از مخلوط واکنش افزوده و با قرار دادن آن‌ها در روشنایی لامپ فلورسنت ۴۰ وات با تابش ۷۵ میکرومول فوتون بر مترمربع بر ثانیه، بلافاصله واکنش آغاز شد. پس از گذشت ۲۰ دقیقه، تابش نور قطع و جذب نمونه‌ها در طول موج ۵۶۰ نانومتر با دستگاه اسپکتروفتومتر (مدل UV/Vis1800، شرکت JASCO، آلمان) خوانده شد. برای نمونه شاهد ۳ میلی‌لیتر از محلول یادشده که فاقد عصاره آنزیمی بود استفاده شد. برای سنجش فعالیت این آنزیم علاوه بر شاهد، نیاز به شاهد روشنایی شامل ۳ میلی‌لیتر از محلول واکنش (فاقد عصاره آنزیمی) قرار گرفته در مقابل نور فلورسنت نیز بود تا میزان فعالیت آنزیم SOD در نمونه‌ها در مقایسه با شاهد روشنایی سنجیده شود. اختلاف جذب نمونه‌ها و شاهد روشنایی در طول موج

صفات و لاین *ET83-20* در وضعیت تنش ۳۰٪، کمترین حد صفات بیان شده را داشتند (شکل ۱).
 نتایج آنالیز واریانس داده‌ها نشان داد که تاثیر تنش خشکی بر کلروفیل a، b، کلروفیل کل و کاروتنوئیدها معنی‌دار بوده است ($P < 0/05$). بر مبنای مقایسه میانگین‌ها، با افزایش سطح خشکی میزان کلروفیل a، b، کلروفیل کل و کاروتنوئید در هر دو لاین افزایش یافت (شکل ۲).
 افزایش معنی‌دار محتوای کلروفیل a، کلروفیل کل و کاروتنوئیدها در لاین *ET83-20* نسبت به *Sanabad* شاخص بود. نکته شایان توجه، شیب بیشتر تغییرات مربوط به محتوای کاروتنوئیدها در لاین *ET83-20* نسبت به *Sanabad* بود (شکل ۲- A، C و D).

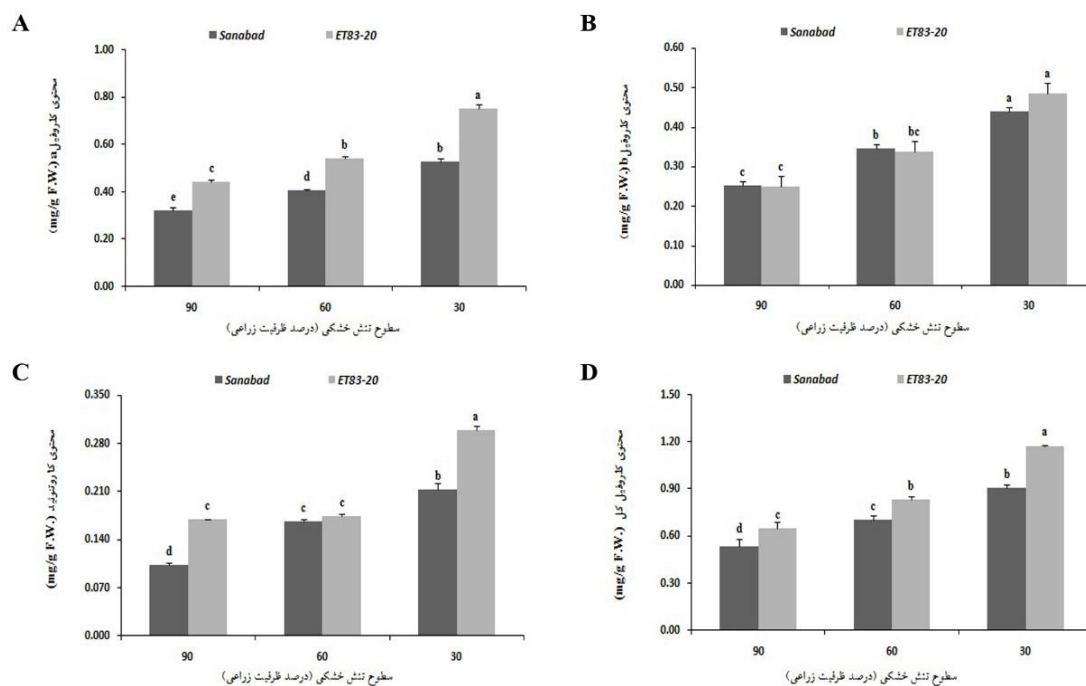
شاخص‌های رشد گیاهچه‌ها داشت ($P < 0/05$). بررسی‌ها نشان داد که با افزایش سطح تنش، وزن خشک ریشه و بخش هوایی کاهش یافت و میزان این کاهش در لاین *ET83-20* بیشتر از *Sanabad* بود (شکل ۱- A و B). با افزایش سطح خشکی، سایر صفات مورفولوژیک گیاهچه‌ها از جمله مجموع سطح ریشه‌ها، قطر ریشه‌ها، میانگین طول ریشه‌ها و مجموع سطح برگ‌ها نیز کاهش یافت (شکل ۱- C، D، E و F). این روند کاهش معنی‌دار، در لاین *ET83-20* در خورتوجه‌تر از *Sanabad* بود. ارزیابی‌ها نشان داد که لاین *Sanabad* در وضعیت فراهمی رطوبت، دارای سطح بیشتر این



شکل ۱- تاثیر سطوح مختلف تنش خشکی بر (A) وزن خشک ریشه؛ (B) وزن خشک بخش هوایی؛ (C) مجموع طول ریشه؛ (D) قطر ریشه؛ (E) مجموع سطح ریشه؛ (F) مجموع سطح برگ. مقادیر میانگین \pm StD است. حروف مشترک بیانگر نبود تفاوت معنی‌دار بر مبنای آزمون دانکن در سطح $P < 0/05$ است. ۹۰٪ ظرفیت زراعی = شاهد.

افزایش شدت تنش، در هر دو لاین، به‌طور پیوسته بر میزان پرولین برگ افزوده شد. در همه سطوح بررسی شده، مقدار افزایش پرولین در لاین *Sanabad* بیشتر از *ET83-20* بوده است؛ به‌طوری که بیشترین محتوای پرولین گزارش شده، متعلق به لاین *Sanabad* در سطح خشکی ۳۰٪ بود (شکل ۳-A).

تحلیل مقایسه‌ای داده‌ها نشان داد که تنش خشکی، لاین و برهم‌کنش این دو عامل، بر محتوای پرولین، کربوهیدرات محلول، مالون دی‌آلدهید، شاخص پایداری غشاء و میزان فعالیت آنزیم‌های SOD و POD معنی‌دار بود ($P < 0.05$) (داده‌ها نشان داده نشده‌اند). بررسی محتوای پرولین در دو لاین نشان داد که با



شکل ۲- تاثیر سطوح مختلف تنش خشکی بر (A) محتوای کلروفیل a؛ (B) محتوای کلروفیل b؛ (C) محتوای کاروتنوئید؛ (D) محتوای کلروفیل کل. مقادیر میانگین ۳ تکرار \pm StD است. حروف مشترک بیانگر نبود تفاوت معنی‌دار بر مبنای آزمون دانکن در سطح $P < 0.05$ است. ۹۰٪ ظرفیت زراعی = شاهد.

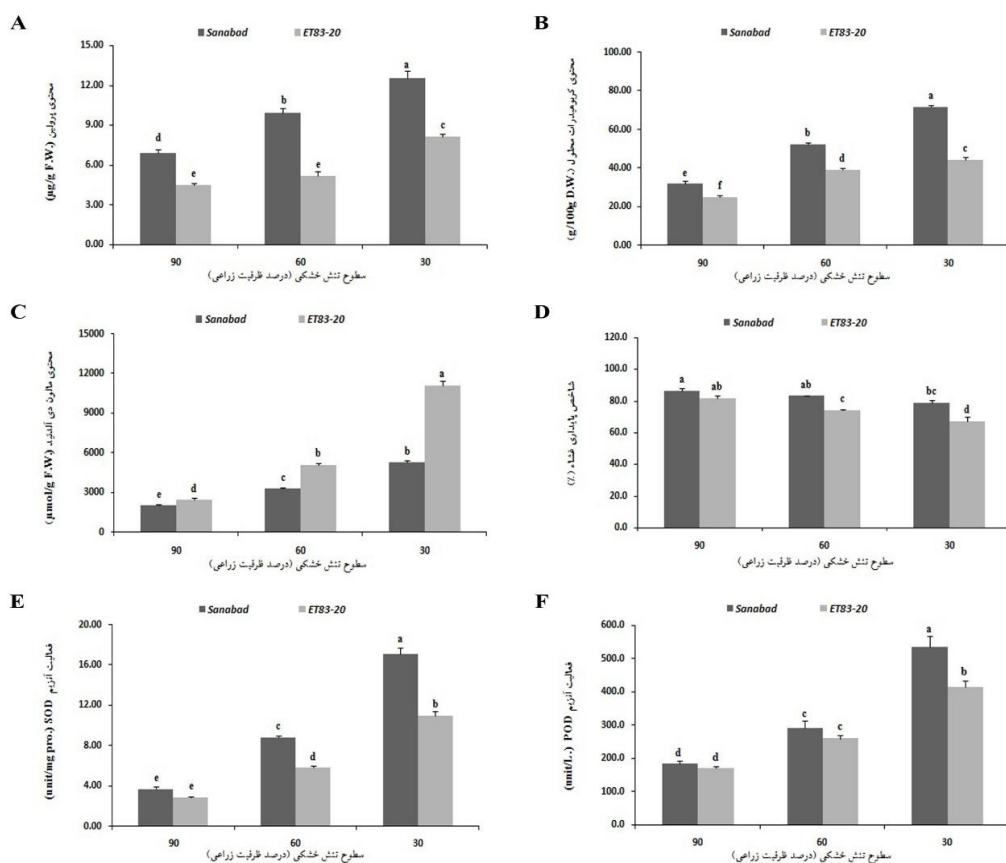
بررسی‌ها معین کرد که تنش خشکی، بر محتوای کربوهیدرات‌های محلول نیز به‌شدت تاثیر گذاشت و افزایش معنی‌دار قندهای محلول در هر دو لاین را باعث شد؛ اما میزان این افزایش در لاین *Sanabad* بیشتر از لاین دیگر در همه دوره‌های بررسی شده بود؛ به‌طوری که افزایش درخورتوجهی در مقدار کربوهیدرات اندازه‌گیری شده لاین *Sanabad* در

سطح تنش ۳۰٪ ثبت شد (شکل ۳-B). بررسی نتایج در بخش میزان پراکسیداسیون لیپیدهای غشاء نشان داد که روند تنشی، میزان تغییرات لیپیدهای غشا را افزایش داد؛ به‌طوری که این آسیب در لاین *ET83-20* و به‌طور عمده در سطح تنش ۳۰٪ شایان توجه بود (شکل ۳-C). بررسی شاخص پایداری غشاء نیز نشان داد که گرچه در هر دو لاین *Sanabad* و *ET83-20*، ثبات غشای

سطح ظرفیت زراعی ۳۰٪ و با تفاوت معنی‌دار نسبت به لاین *ET83-20* بود (شکل ۳- E و F). فعالیت آنزیم SOD در سطح تنش ۳۰٪ در مقایسه با نمونه‌های شاهد، افزایش ۴/۷ برابری در لاین *Sanabad* و افزایش ۳/۸ برابری در لاین *ET83-20* نشان داد. همچنین فعالیت آنزیم POD در سطح تنش ۳۰٪، افزایش ۳ برابری را در لاین *Sanabad* و افزایش ۲/۵ برابری را در لاین *ET83-20* در مقایسه با نمونه‌های شاهد نشان داد.

سلول‌ها در نتیجه اعمال تنش خشکی کاهش یافت، آثار تخریبی آن بر غشای سلول‌های لاین *ET83-20* بیشتر بود (شکل ۳- D).

با مقایسه میانگین نتایج در هر دو لاین مشخص شد تنش خشکی افزایش در میزان فعالیت آنزیم‌های SOD و POD را باعث شد؛ ولی میزان این افزایش در لاین *Sanabad* بیشتر از *ET83-20* بود. بیشترین میزان فعالیت SOD و POD، متعلق به لاین *Sanabad* در



شکل ۳- تاثیر سطوح مختلف تنش خشکی بر (A) محتوای پروکلین؛ (B) محتوای کربوهیدرات محلول؛ (C) محتوای مالون دی آلدئید؛ (D) شاخص پایداری غشاء؛ (E) فعالیت آنزیم SOD؛ (F) فعالیت آنزیم POD. مقادیر میانگین ± تکرار StD است. حروف مشترک بیانگر نبود تفاوت معنی‌دار بر مبنای آزمون دانکن در سطح $P < 0.05$ است. ۹۰٪ ظرفیت زراعی = شاهد.

کاهش معنی‌دار وزن خشک ریشه و بخش هوایی، مجموع سطح برگ‌ها، مجموع سطح، طول و قطر ریشه‌ها را در دو لاین گیاه تریبتیکاله باعث می‌شود؛ ولی

بحث

نتایج حاصل از اندازه‌گیری صفات رشد در مرحله گیاهچه‌ای دوره رویشی نشان داد که تنش خشکی،

کلروفیل a به b در وضعیت تنش، ۵٪ افزایش یافته است (Siosemardeh *et al.*, 2004). گرچه تحقیقات متعددی بر کاهش میزان کلروفیل هنگام تنش خشکی دلالت دارد، بسیاری از تحقیقات دیگر بیانگر افزایش محتوای کلروفیل و کاروتنوئید در وضعیت تنش است (Rahbarian *et al.*, 2004؛ Movahedi Dehnavi *et al.*, 2011؛ Matloubi, 2014). در برخی تحقیقات نیز افزایش محتوای کاروتنوئیدها، محافظان کلروفیل‌ها از فرایند تجزیه‌شدن، در هنگام تنش گزارش شده است (Dias *et al.*, 2012؛ Sedghi *et al.*, 2014).

افزایش چشمگیر محتوای پرولین در هر دو لاین تریتیکاله در تنش خشکی نشان‌دهنده اهمیت این ترکیب در تنظیم فشار اسمزی در گیاه است. میزان افزایش این ماده در لاین *Sanabad* بسیار بیشتر از لاین *ET83-20* بوده است که این امر ممکن است یکی از دلایل مقاومت بیشتر این لاین به تنش خشکی باشد. اثبات شده است که تنش خشکی در گیاهان، نسخه‌برداری *mRNA* ژن‌های کدکننده آنزیم‌های مسیر بیوسنتز پرولین (دلتا پرولین ۵-کربو کسيلات سنتاز *P5CS* و دلتا پرولین ۵-کربو کسيلات ردو کناز *P5CR*) و در نهایت محتوای پرولین را افزایش می‌دهد تا سازوکار دفاعی در برابر تنش اعمال شده باشد (Verslues *et al.*, 1998).

ارزیابی قندهای محلول دو لاین، روند افزایشی و معنی‌دار محتوای این ترکیبات را با افزایش تنش خشکی نشان داد. ثابت شده است که تجمع قندهای محلول در هنگام تنش خشکی به پایداری غشاء کمک می‌کند، پروتئین‌ها و آنزیم‌های عمل‌کننده را حفاظت می‌کند و آن‌ها را همچنان فعال نگه می‌دارد

میزان کاهش نهایی این تغییرات در لاین *ET83-20* بیشتر از *Sanabad* بود. Khazai و همکاران (۲۰۱۰) طبق آزمایشی که روی ژنوتیپ‌هایی از گیاه تریتیکاله انجام دادند، به این نتیجه رسیدند که وزن خشک بخش هوایی، ریشه و سنبله گیاهان با اعمال محدودیت رطوبتی کاهش می‌یابد (Khazai *et al.*, 2010). مشخص شده است که پاسخ‌های فنولوژی ژنوتیپ‌های متفاوت تریتیکاله در برابر محدودیت‌های رطوبتی، متفاوت است (Campuzano *et al.*, 2008). با توجه به اینکه کاهش مدت این دوره، فتوسنتز را کاهش می‌دهد، نتیجه‌گیری می‌شود که در تحقیق حاضر، کاهش وزن خشک اندام هوایی و ریشه در تنش خشکی ممکن است ناشی از کاهش فتوسنتز باشد. سایر محققان نیز این موضوع را تایید کرده‌اند (Grzesiak *et al.*, 2007؛ McMaster and Ivandic *et al.*, 2000؛ Wilhelm, 2003).

بررسی‌های انجام شده درباره رنگدانه‌های فتوسنتزی نشان داد که تنش خشکی، محتوای کلروفیل a و b، کلروفیل کل و کاروتنوئید را در هر دو لاین افزایش داد؛ اما میزان این افزایش در لاین *ET83-20* بیشتر از لاین *Sanabad* بود. افزایش بیشتر محتوای رنگدانه‌ها در لاین *ET83-20* ممکن است به علت کاهش بیشتر سطح برگ، ایجاد شده باشد که خود سازوکاری برای اجتناب از خشکی است. در گزارش‌های به‌دست آمده از برخی محققان، تغییرات فیزیولوژیک سریع مانند لوله‌ای شدن برگ، کاهش سطح برگ و افزایش مقاومت روزنه‌ای جزء سازوکارهای اجتناب از تنش خشکی و شوری معرفی شده‌اند (Machado and Paulsen, 2001). طبق پژوهش انجام شده بر ارقام مختلف گندم در تنش خشکی، مشخص شد که نسبت

آب، همگام نبوده است و در نتیجه افزایش کنترل نشدهٔ ROSها در حین تنش خشکی، پراکسیداسیون انواع فسفولیپیدهای غشای پلاسمایی و گلیکولیپیدهای تیلاکوئید کلروپلاستی و به دنبال آن تولید دی‌آسیل‌گلیسرول و تری‌آسیل‌گلیسرول و در نهایت اسیدهای چرب اتفاق می‌افتد که حاصل آن افزایش محتوای MDA در بافت گیاهی است (*Smirnoff et al.*, 1993؛ *Ragab Mouss and Adbel-Aziz*, 2008؛ *Mohammadi et al.*, 2011). در تحقیق حاضر، محتوای MDA لاین *ET83-20* بیشتر از لاین *Sanabad* به ثبت رسید؛ در حالی که لاین *ET83-20*، پایداری غشایی کمتری دارد. این نتایج نشان می‌دهد که لاین *Sanabad* می‌تواند در برابر پراکسیداسیون انواع لیپیدهای ساختاری ناشی از تجمع بیش از اندازهٔ انواع ROSها، مقاومت بیشتری از خود نشان دهد و ثبات سلول‌های خود را بهتر حفظ کند.

سیستم دفاع آنتی‌اکسیدانی در همهٔ مراحل رشد گیاهان، فعال است (*Hoshani et al.*, 2012). در پژوهش حاضر، ارزیابی فعالیت آنزیم‌های آنتی‌اکسیدان مشخص کرد که تنش خشکی، فعالیت آنزیم سوپراکسید دیسموتاز و گایاکول پراکسیداز را در هر دو لاین بررسی شده افزایش داد؛ اما میزان این افزایش در لاین *Sanabad* بیشتر از لاین *ET83-20* بود. *Borzooi* و همکاران (2006) گزارش کردند که تنش خشکی، افزایش SOD را در ارقام مختلف گندم موجب می‌شود و ارقام مقاوم به خشکی نسبت به ارقام حساس فعالیت بیشتر آنزیم SOD را دارند. افزایش فعالیت SOD در تنش خشکی در بسیاری از گونه‌های گیاهی مثل گندم (*Bakalova et al.*, 2004)، ذرت (*Ragab Moussa*

(*Sinay*؛ *Lipiec et al.*, 2013؛ *Arabzadeh*, 2012) and *Karuwal*, 2014). از سوی دیگر، یک راه ممکن برای تنظیم اسمزی گیاهان، تبدیل پلی‌ساکاریدهای نامحلول مانند نشاسته و فروکتان به قندهای محلول مانند الیگوساکاریدها، ساکارز و گلوکز است (*Hendry*, 1993). قندهای محلول که محافظت‌کننده‌های اسمزی هستند، در تنظیم اسمزی سلول نقش دارند و در پاسخ به تنش‌های محیطی تجمع می‌یابند. از این رو تعیین میزان قندهای محلول در کنار ارزیابی سایر صفات بیوشیمیایی یکی از روش‌های مفید در انتخاب گونه‌های مقاوم و حساس به تنش خشکی و شوری است (*Pagter et al.*, 2005؛ *Amirjani and Mahdiyeh*, 2013).

در سایر گزارش‌ها آمده است که بین شدت تحمل به تنش خشکی و افزایش تجمع قندهای محلول در گونه‌های مختلف گیاهی ارتباط مستقیم وجود دارد و ژنوتیپ‌ها و ارقام با تحمل بیشتر، تجمع بیشتری از قندهای محلول دارند (*Amirjani and Mahdiyeh*, 2013؛ *Sinay and Salehi Shanjani et al.*, 2014؛ *Karuwal*, 2014). افزایش بیشتر قندهای محلول لاین *Sanabad* در پاسخ به تنش خشکی نسبت به *ET83-20* ممکن است یکی از دلایل سیستم مقاومتی کارآمدتر این لاین به تنش خشکی باشد.

تخریب غشای سلولی، یکی از پیامدهای مستقیم کمبود آب است و به این ترتیب، بین پایداری غشاء، میزان پراکسیداسیون لیپیدهای غشایی و شدت تنش خشکی ارتباط مستقیم وجود دارد (*Sofa et al.*, 2004). افزایش محتوای مالون دی‌آلدئید در برگ تربیتکاله در تنش خشکی نشان می‌دهد که سازوکار ترمیم سلولی با سازوکارهای تخریب حاصل از کمبود

(*Arachis hypogaea* L.)، بادام زمینی (al., 2014) (Shinde and Laware, 2015) و... نیز گزارش شده است. در حین عملکرد SOD، مقدار زیادی H_2O_2 تولید می‌شود که به شدت برای سلول سمی هستند. آنزیم پراکسیداز در کنار سایر آنزیم‌های آنتی‌اکسیدان، در حذف سریع H_2O_2 حاصل از عملکرد SOD در حین تنش خشکی، نقش بسیار مهمی را بر عهده دارد (Gue et al., 2006).

نتیجه‌گیری

نتایج حاصل از تحقیق حاضر نشان داد که لاین ET83-20 در برابر تنش خشکی مقاومت کمتری نسبت به لاین Sanabad دارد. این مسئله به سبب کم‌تر بودن ترکیبات تنظیم‌کننده‌ی اسمزی، فعالیت کمتر آنتی‌اکسیدان‌های آنزیمی و افزایش بیشتر پراکسیداسیون‌لیپیدها در لاین ET83-20 است. با وجود این، لاین ET83-20 سعی می‌کند با سازوکارهای اجتناب از تنش، همانند کاهش سطح برگ و افزایش بیشتر محتوای کلروفیل‌ها به مقابله با تنش خشکی بپردازد. بر مبنای پژوهش حاضر، لاین Sanabad جایگزین بهتری برای سایر غلات معرفی می‌شود.

سپاسگزاری

نگارندگان از حوزه‌ی معاونت پژوهشی دانشگاه فردوسی مشهد برای تامین هزینه‌های مالی و از سازمان تحقیقات جهاد کشاورزی مشهد برای در اختیار قرار دادن بذرها و گیاهی سپاسگزاری می‌کنند.

Populus cathayana، (and Adbel-Aziz, 2008) (Xiao et al., 2008) و... نیز گزارش شده است. بین روش‌های مختلف پیشرفته برای انتخاب ژنوتیپ‌های مقاوم به خشکی در گونه‌های مختلف گیاهی، اندازه‌گیری و بررسی میزان فعالیت SOD، بسیار کارآمد تشخیص داده شده است (Amirjani and Mahdiyeh, 2013؛ Shinde and Laware, 2015). در واقع SOD، آنتی‌اکسیدانی قوی و جاروب‌کننده‌ی اصلی $O_2^{\cdot-}$ است که نخستین ماده‌ی تولید شده از احیای یک ظرفیتی اکسیژن یعنی رادیکال سوپراکسید را از بین می‌برد. بنابراین نخستین خط دفاعی در برابر ROSها به شمار می‌رود (Abedi et al., Borzooi et al., 2006؛ Momeni et al., Mohammadi et al., 2011؛ 2010؛ 2012؛ Sharma et al., 2012). به عبارت دیگر، فعالیت SOD به‌طور مستقیم مقدار ROSها را متعادل می‌کند و این موضوع نشان می‌دهد که سازگاری به تنش خشکی، افزایش ظرفیت آنتی‌اکسیدانی آنزیمی را موجب می‌شود (Amirjani and Huseynova, 2012؛ Mahdiyeh, 2013).

POD جزء آنزیم‌هایی است که تبدیل H_2O_2 به آب و اکسیژن را کاتالیز می‌کند (Gratao et al., 2005). Abedi و همکاران (۲۰۱۰) براساس تحقیقی که روی ژنوتیپ‌های مختلف کلزا انجام دادند افزایش چشم‌گیر این آنزیم را در سطح تنش ۳۰٪ خشکی گزارش کردند. افزایش آنزیم POD تحت شرایط تنش خشکی در بسیاری از گونه‌های گیاهی از جمله مورد (*Myrtus communis*) (Caravaca et al., 2005)، جو (*Hordeum vulgare* L.) (Salekjalali et al.)، (2012) (*Achillea tinctoria*) (Salehi Shanjani et)

منابع

- Abedi, T. and Pakniyat, H. (2010) Antioxidant enzyme changes in response to drought stress in ten cultivars of oilseed rape (*Brassica napus* L.). Czech Journal of Genetics and Plant Breeding 1: 27–34.
- Amirjani, M. R. and Mahdiyeh, M. (2013) Antioxidative and biochemical response of wheat to drought stress. Journal of Agricultural and Biological Science 8(4): 291-301.
- Arabzadeh, N. (2012) The effect of drought stress on soluble carbohydrates (sugars) in two species of *Haloxylon persicum* and *Haloxylon aphyllum*. Asian Journal of Plant Science 11(1): 44-51.
- Arnon, D. J. (1956) Chlorophyll absorption spectrum and quantitative determination. Biochemical and Biophysical Acta 20: 449-461.
- Azizpour, K., Shakiba, M. R., Khosh Kholgh Sima, N., Alyari, H., Moghaddam, M., Esfandiari, E. and Pessarakli, M. (2010) Physiological response of spring durum wheat genotypes to salinity. Journal of Plant Nutrition 33: 859-873.
- Bakalova, S., Nikolova, A. and Wedera, D. (2004) Isoenzyme profiles of peroxidase, catalase and superoxide dismutase as affected by dehydration stress and ABA during germination of wheat seeds. Journal of Plant Physiology 30: 64–77.
- Bates, L. S., Waldren, R. P. and Tear, I. D. (1973) Rapid determination of free proline for water stress studies. Plant and Soil 39:205-207.
- Blokhin, O., Virolainen, E. and Fagerstedt, K. (2003) Antioxidant oxidative damage and oxygen deprivation stress. Annual Review of Botany 91: 179-194.
- Borzooi, A., Khazai, H. and Shahriari, P. (2006) Effect of drought stress after pollination on physiological characteristics and the amount of antioxidants found in different varieties of wheat (*Triticum aestivum* L.) in greenhouse conditions. Journal of Agricultural Science and Technology 20(5): 65-75 (In Persian).
- Campuzano, G. E., Miralles, D. J. and Slafer, G. A. (2008) Genotypic variability and response to water stress of pre- and post-anthesis phases in *Triticale*. European Journal of Agronomy 28: 171-177.
- Caravaca, F., Alguacil, M. M., Hernandez, J. A. and Roldan, A. (2005) Involvement of antioxidant enzyme and nitrate reductase activities during water stress and recovery of mycorrhizal *Myrtus communis* and *Phillyrea angustifolia* plants. Plant Science 169: 191-197.
- Das, R. and Uprety, D. C. (2006) Interactive effect of moisture stress and elevated CO₂ on the oxidative stress in *Brassica* species. Journal of Food Agriculture and Environment 4: 298–305.
- Dias, M. C., Oliveira, H., Costa, A. and Santos, C. (2014) Improving elms performance under drought stress: The pretreatment with abscisic acid. Environmental and Experimental Botany 100: 64-73.
- Dubious, M. K., Gilles, A., Hamilton, J. K., Roberts, P. A. and Smith, F. (1956) Colorimetric method for determination of sugars and related. Annual Chemistry 28: 350-566.
- Erekul, O. and Kohn, W. (2006) Effect of weather and soil conditions on yield components and bread-making quality of winter wheat (*Triticum aestivum* L.) and winter triticale (*Triticosecale* × *Wittmax*) varieties in North-East Germany. Journal of Agronomy and Crops Science 192: 452-464.
- Giannopolitis, C. N. and Ries, S. K. (1977) Superoxide dismutase. 1. Occurrence in higher plants. Plant Physiology 59: 309-314.
- Gratao, P. L., Polle, A., Lea, P. J. and Azevedo, R. A. (2005) Making the life of heavy metal-stressed plants a little easier. Functional Plant Biology 32: 481-494.

- Grzesiak, M. T., Rzepka, A., Hura, T., Hura, K. and Skoczowski, A. (2007) Changes in response to drought stress of Triticale and maize genotypes differing in drought tolerance. *Photosynthetica* 45(2): 280-287.
- Gunes, A., Pilbeam, D., Inal, A. and Coban, S. (2008) Influence of silicon on sunflower cultivars under drought stress, I: Growth, antioxidant mechanisms and lipid peroxidation. *Soil Science and Plant Nutrition* 39: 1885-1903.
- Gue, Z., Ou, W., Lu, S., Zhong, Q., (2006) Differential responses of antioxidative system to chilling and drought in four rice cultivars differing in sensitivity. *Plant Physiology and Biochemistry* 44: 828-836.
- Heath, R. L. and Packer, L. (1969) Photo peroxidation in isolated chloroplast, 1. Kinetics and stoichiometry of fatty acid peroxidation. *Archives of Biochemistry and Biophysics* 125: 189-198.
- Hendry, G. (1993) Evolutionary origins and natural functions of fructans. *New Phytologist* 123: 3-14.
- Hoshani, M., Mianabadi, M., Aghdasi, M. and Azim Mohseni, M. (2012) An investigation of antioxidant activity of *Physalis alkekengi* methanolic extracts in different phenological stages. *Journal of Plant Biology* 4(14): 101-114 (In Persian).
- Huseynova, I. M. (2012) Photosynthetic characteristics and enzymatic antioxidant capacity of leaves from wheat cultivars exposed to drought. *Biochemical Biophysical Acta* 1817(8): 1516-1523.
- Ivandic, V., Hackett, C. A., Zhang, Z. J., Staub, J. E., Nevo, E., Thomas, W. T. B. and Forster, B. P. (2000) Phenotypic responses of wild barley to experimentally imposed water stress. *Journal of Experimental Botany* 51(353): 2021-2029.
- Khazai, H., Nezami, A. and Shojai, N. (2010) The effect of water stress on yield and distribution of dry matter between shoot and root of one-plant triticale genotypes (*Triticosecale X Wittmax*) under controlled conditions. *Journal of Agricultural Ecology* 2(1): 57-146 (In Persian).
- Lelley, T. (2006) A low-input cereal with untapped potential. In: Genetic resources, Chromosome engineering and crop improvement cereals (Eds: Singh R.J. and Jauhar P.). 395-430. *Cyclic Redundancy Check*. Taylor. Boca Raton.
- Lipiec, J., Doussan, C., Nosalewicz, A. and Kondracka, K. (2013) Effect of drought and heat stresses on plant growth and yield. *International Agrophysica Journal* 27: 463-477.
- Machado, S. and Paulsen, G. M. (2001) Combined effects of drought and high temperature on water relations of wheat and sorghum. *Plant and Soil* 223: 179-187.
- Mackinney, G. (1941) Absorption of light by chlorophyll solution. *The Journal of Biological Chemistry* 140: 315-319.
- Matloubi, Z. (2014) The role of abscisic acid on antioxidant capacity and superoxide dismutase gene expression in chickpea (*Cicer arietinum* L.) under drought stress. MSc thesis, Ferdowsi University, Mashhad, Iran (In Persian).
- McMaster, G. S. and Wilhelm, W. W. (2003) Simulating wheat and barley phenological responses to water and temperature stress. *Journal of Agricultural Science* 141: 129-147.
- Mergom, M. and Masperson, H. G. (2004) *Triticale* improvement and production. *FAO Plant Production and Protection* 11: 170-179.
- Mergoum, M. and Gomez, H. (2009) *Triticale* improvement and production. *FAO Plant Production and Protection* 11: 123-145.

- Mohammadi, A., Habibi, D., Rohamiand, M. and Mafakheri, M. (2011) Effect of drought stress on antioxidant enzymes activity of some chickpea cultivars. *American-Eurasian Journal of Agricultural and Environmental Sciences* 11(6): 782-785.
- Momeni, N., Arvin, M. J., Khajouinejad, Gh., Daneshmand, F. and Keramat, B. (2012) Effect of sodium chloride and salicylic acid on antioxidant defense system in maize (*Zea mays* L.). *Journal of Plant Biology* 4(14): 23-34 (In Persian).
- Movahedi Dehnavi, M., Modares Saanavi, A. M., Soroushzadeh, A. and Jalali, M. (2004) Changes of proline, total soluble carbohydrates, chlorophyll (SPAD) and chlorophyll fluorescence in safflower varieties under drought stress and foliar application of zinc and manganese. *Desert Magazine* 9(35): 93-107 (In Persian).
- Pagter, M., Bragato, C. and Brix, H. (2005) Tolerance and physiological responses of *Phragmites australis* to water deficit. *Aquatic Botany* 81: 285-299.
- Putter, J. (1974) In *Methods of Enzymatic Analysis 2* (ED Bergmeyer). Academic press, New York.
- Ragab Mossa, H. And Abdel-Aziz, S. (2008) Comparative response of drought tolerant and drought sensitive maize genotypes to water stress. *Australian Journal of Crop Science* 1(1): 31-36.
- Rahbarian, R., Khavari-Nejad, R., Ganjeali, A., Bagheri, A. and Najafi, F. (2011) Drought stress effects on photosynthesis, chlorophyll fluorescence and water relations in tolerant and susceptible chickpea (*Cicer arietinum* L.) genotypes. *Acta Biologica Cracoviensia Series Botanica* 53(1): 47-56.
- Rai, V. K., Singh, G., Thakur, P. S. and Banyal, S. (1983) Protein and amino acid relationship during water stress in relation to drought resistance. *Plant Physiology and Biochemistry* 10: 161-167.
- Razavizadeh, R., Shafaghat, M. and Najafi, N. (2014) Effect of water stress on morphological and physiological indicators of *Carum copticum*. *Journal of Plant Biology* 6 (22): 25-38 (In Persian).
- Sairam, R. K. and Saxena, D. C. (2000) Oxidative stress and antioxidant in wheat genotypes: possible mechanism of water stress tolerance. *Journal of Agronomy and Crop Science* 184: 55-61.
- Salehi Shanjani, P., Izadpanah, M. and Calagari, M. (2014) Effects of drought on osmotic adjustment, antioxidant enzymes and pigments in wild *Achillea tinctoria* populations. *Ethno-Pharmaceutical Product* 1(2): 43-54.
- Salekjalali, M., Haddad, R. and Jafari, B. (2012) Effects of soil water shortages on the activity of antioxidant enzymes and the contents of chlorophylls and proteins in barley. *American-Eurasian Journal of Agricultural and Environmental Science* 12(1): 57-63.
- Sedghi, M., SeyedSharifi, R., Pirzad, A. and Amanpour-Balaneji, B. (2012) Phytohormonal regulation of antioxidant systems in petals of drought stressed pot marigold (*Calendula officinalis* L.). *Journal of Agricultural Science and Technology* 14(4): 869-878.
- Sharma, P., Bushan Jha, A., Shanker Dubey, R. and Pessarakli, M. (2012) Reactive oxygen species oxidative damage and antioxidative defense mechanism in plants under stressful conditions. *Journal of Botany* 12: 1-26.
- Shinde, B. M. and Laware, S. L. (2015) Investigations of water stress on antioxidant enzyme activities in groundnut varieties (*Arachis hypogaea* L.). *International Journal of Advanced Biological Research* 5(1): 29-33.
- Siddique, M. R. B., Hamid, A. and Islam, M. S. (1999) Drought stress effects on photosynthetic rate and leaf gas exchange of wheat. *Botanical Bulletin of Academia Sinica* 40: 141-145.

- Sinay, H. and Karuwal, R. L. (2014) Proline and total soluble sugar content at the vegetative phase of six corn cultivars from Kisar Island Maluku, grown under drought stress conditions. *International Journal of Advance Agriculture Research* 2: 77-82.
- Siosemardeh, A., Ahmadi, A., Poustini, K. and Ebrahimzadeh, H. (2004) Stomatal and non stomatal factors controlling photosynthesis and its relation with drought resistance in wheat cultivars. *Iranian Journal of Agricultural Science* 32(41): 191-202 (In Persian).
- Smirnoff, N. (1993) The role of active oxygen in response of plants to water deficit and desiccation. *New Phytologist* 125: 27-58.
- Sofa, A., Dichio, B., Xiloyannis, C. and Masia, A. (2004) Lipoxygenase activity and proline accumulation in leaves and roots of olive tree in response to drought stress. *Physiologia Plantarum* 121: 56-58.
- Verslues, P. E., Ober, E. S. and Sharp, R. E. (1998) Root growth and oxygen relations at low water potentials, impact of oxygen availability in polyethylene glycol solutions. *Plant Physiology* 116: 1403-1412.
- Xiao, X., Xu, X. and Yang, F. (2008) Adaptive responses to progressive drought stress in two *Populus cathayana* populations. *Silva Fennica* 42: 705-719.